

第 1 章

既存研究

1.1 ReDoS 脆弱性

文字列のパターンマッチングにかなり時間がかかってしまうような正規表現が存在することが知られている。そのような正規表現を ReDoS(regular expression denial-of-service) 脆弱な正規表現と呼ぶ。本節ではまず文字列のパターンマッチングはどのようなアルゴリズムで行われているかを紹介し、その次に正規表現の脆弱性について定義する。

1.1.1 バックトラック探索

大抵のプログラミング言語が正規表現ライブラリを提供している。そのうち多くの正規表現ライブラリはバックトラック探索アルゴリズムを用いて文字列のパターンマッチングを行っている。このアルゴリズムにおいてバックトラックとはどのようなものなのか、それを [1] の論文で紹介されていた例を用いて説明する。バックトラック探索アルゴリズムの詳細は [2] を参照されたい (プログラミング言語 Java における、バックトラック探索アルゴリズムを用いた文字列パターンマッチングについて述べられている)。

a^*a^*b という正規表現について考える。この正規表現と等価な NFA は以下のように作成できる ([1] より引用)。

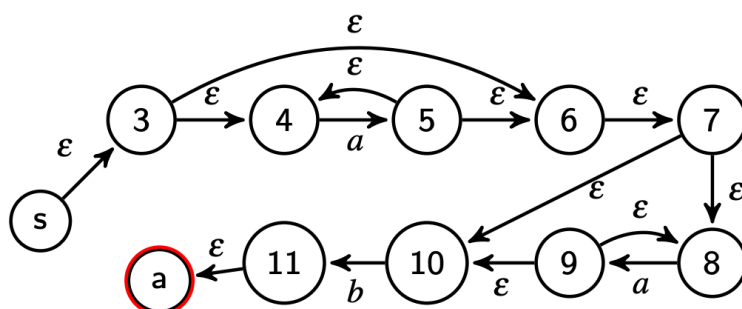


図 1.1 正規表現 a^*a^*b と等価な NFA

この NFA に aaa という文字列を入力として与える (なお, aaa は受理されない).

まず, 初期状態 s から遷移できるところまで進む. 今回の例では初期状態 s から a という文字を 2 つ消費した後の状態 10 までは遷移できる. これをパスとして表すと以下のようになる.

$$(s, \varepsilon, 3), (3, \varepsilon, 4), (4, a, 5), (5, \varepsilon, 6), (6, \varepsilon, 7), (7, \varepsilon, 8), (8, a, 9), (9, \varepsilon, 10) \quad (1.1)$$

他にも以下のようなパスが存在する.

$$(s, \varepsilon, 3), (3, \varepsilon, 4), (4, a, 5), (5, \varepsilon, 4), (4, a, 5), (5, \varepsilon, 6), (6, \varepsilon, 7), (7, \varepsilon, 10)$$

$$(s, \varepsilon, 3), (3, \varepsilon, 6), (6, \varepsilon, 7), (7, \varepsilon, 8), (8, a, 9), (9, \varepsilon, 8), (8, a, 9), (9, \varepsilon, 10)$$

しかし, 状態 10 から先へは文字 b がなければ進めない. このような状況に陥った際, 1 手前に戻る, すなわちバックトラックが行われる. 具体的に言えば, (1.1) の探索パスで言えば状態 10 から進めないことが分かったので状態 9 に戻ってやり直すということである. 状態 9 に戻って, 残りの文字 a を読み取った上で状態 a にたどりつけるようなパスを探すが存在しないので, またバックトラックする. このように文字列のパターンマッチングではバックトラックを繰り返し行うことが多々ある. バックトラックの回数が文字列のパターンマッチングの実行時間に大きな影響を与える.

1.1.2 ReDoS 脆弱性の定式化

ReDoS 脆弱性の定式化を行う. Wüstholtz らの研究 [3] では, 超脆弱な NFA と脆弱な NFA の 2 種類の定義が紹介されていた. なお, 本節での NFA は ε 遷移なし NFA である.

1.1.2.1 超脆弱な NFA

まず, 超脆弱な (ε 遷移なし)NFA について定式化する.

1.1.2.2 脆弱な NFA

次に、脆弱な (ε 遷移なし)NFA について定式化する.

定義 1 (脆弱な NFA) NFA $\mathcal{A} = (Q, \Sigma, \Delta, q_0, F)$ が脆弱であることは \mathcal{A} のパスを走査するようなバックトラック探索アルゴリズム MATCH が存在し、MATCH の最悪ケースの複雑さが入力文字列の長さに対して最低でも 2 次関数的になることと同値である.

定理 1 NFA \mathcal{A} が脆弱であることは以下の条件を満たすような 2 つのピボット状態 $q \in Q$ と 3 つのパス π_1, π_2, π_3 (ただし, $\pi_1 \neq \pi_2$) が存在することと同値である.

1. π_1 は q で始まり, q で終わる.
2. π_2 は q で始まり, q' で終わる.
3. π_3 は q' で始まり, q' で終わる.
4. $\text{labels}(\pi_1) = \text{label}(\pi_2) = \text{label}(\pi_3)$.
5. q_0 から q へのパス π_p が存在する.
6. q' から状態 $q_r \notin F$ へのパス π_s が存在する.

証明については [3] を参照されたい.

上記の定理を直感的に表した図を以下に示す ([3] より引用).

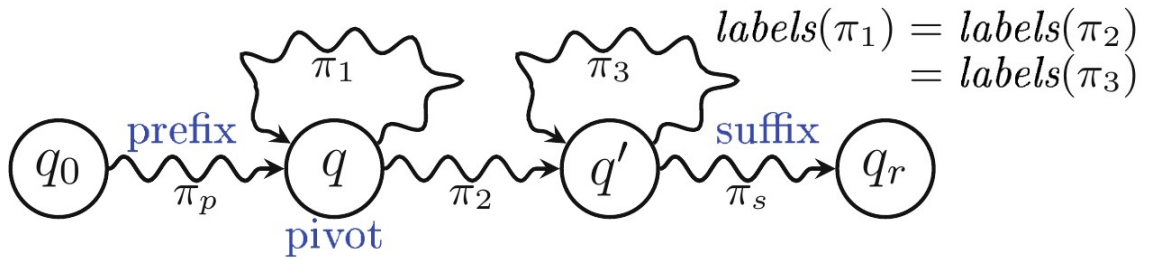


図 1.2 脆弱な NFA の一般的なパターン

定理 1 の性質を満たす NFA が超線形的な動作を引き起こす理由を考える.

$s_0 \cdot s^k \cdot s_1$ という形の攻撃文字列を考える. s_0 が攻撃文字列のプレフィックス $\text{labels}(\pi_p)$, s_1 が攻撃文字列のサフィックス $\text{labels}(\pi_s)$, s が攻撃文字列のコア $\text{labels}(\pi_1)$ である. そして, $s_0 \cdot s^k \cdot s_1$ が拒絶される実行パスが存在する ($\pi_p \cdot \pi_1^k \cdot \pi_s$ など). $T_q(k)$ は q から走査を開始し, 文字列 $s^k \cdot s_1$ を拒絶するまでの実行時間 (文字列 s を読むのに 1 単位の時間がかかるとする) を表すものとする, 以下のような漸化式が作れる.

$$T_q(k) = (1 + T_q(k-1)) + (1 + T_{q'}(k-1)) \quad (1.2)$$

式 (1.2) の右辺を詳しくみると、文字列 s は以下の 2 パターンの方法で処理されることが分かる。

1. パス π_1 を通って q に戻る場合、 s が 1 単位分処理される。現状 q にいるため、 $T_q(k-1)$ 単位分の処理が残る。
2. パス π_2 を通って q' へ行く場合、 s が 1 単位分処理される。現状 q' にいるため、 $T_{q'}(k-1)$ 単位分の処理が残る。

ここで、 $T_{q'}(k)$ の下界は k である。なぜなら、パス $\pi_3^k \pi_s$ は明らかに拒絶状態 q_r に到達できるからである。このことから、

$$T_q(k) \geq T_q(k-1) + k + 1$$

従って、NFA \mathcal{A} において文字列 $s_0 \cdot s^k \cdot s_1$ のパターンマッチングには最低でも k^2 オーダーの時間がかかる。

脆弱な NFA の例を以下に示す ([3] より引用)。

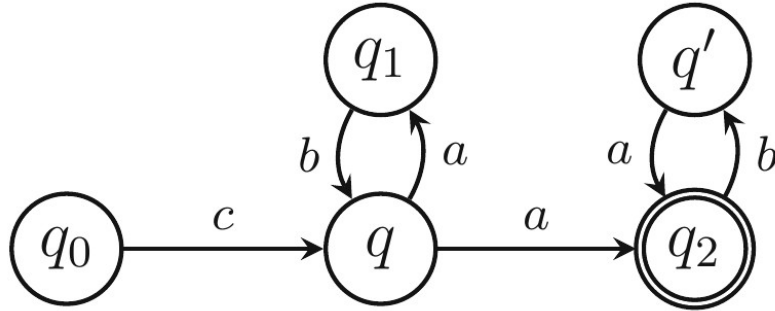


図 1.3 脆弱な NFA の例

π_1 が $(q, a, q_1), (q_1, b, q)$, π_2 が $(q, a, q_2), (q_2, b, q')$, π_3 が $(q, a, q_2), (q_2, b, q)$ に該当する。

1.2 ReDoS 脆弱な正規表現の修正

1.2.1 REMEDY

参考文献

- [1] Cristian-Alexandru Staicu and Michael Pradel. Freezing the web: A study of redos vulnerabilities in javascript-based web servers. In *Proceedings of the 27th USENIX Conference on Security Symposium*, 2018.
- [2] Martin Berglund, Frank Drewes, and Brink Van Der Merwe. Analyzing catastrophic backtracking behavior in practical regular expression matching. *Electronic Proceedings in Theoretical Computer Science*, Vol. 151, , 05 2014.
- [3] Valentin Wüstholtz, Oswaldo Olivo, Marijn J. H. Heule, and Isil Dillig. Static detection of dos vulnerabilities in programs that use regular expressions (extended version). *CoRR*, Vol. abs/1701.04045, , 2017.